

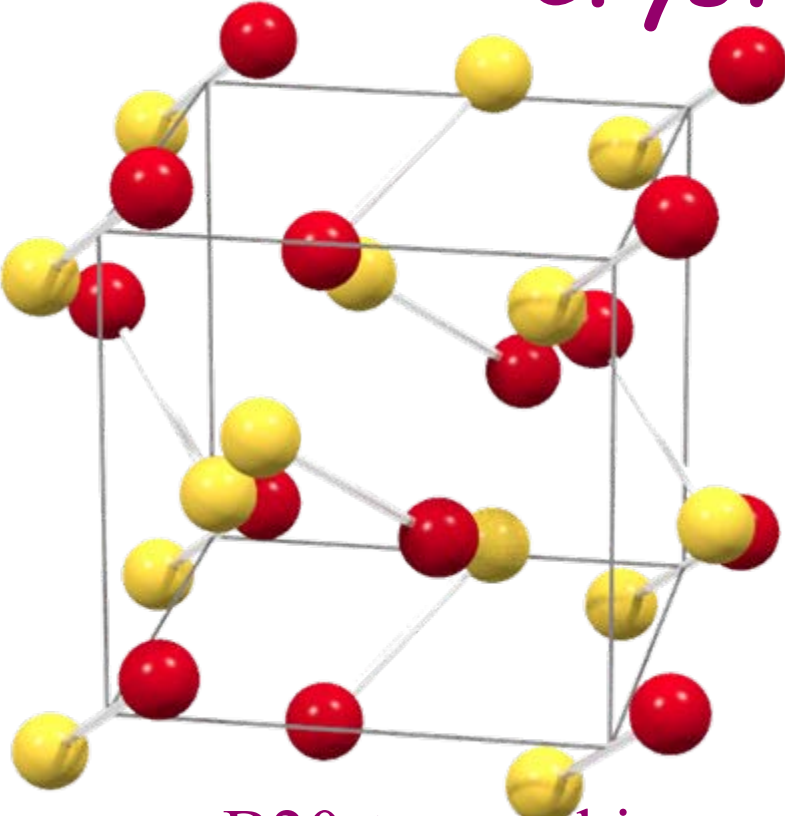
Киальная катастрофа модели Бака-Йенсена в $Fe_{1-x}Co_xGe$

С.В. Григорьев

Петербургский институт ядерной физики

НИЦ Курчатовский институт

Crystal structure



Examples

MnSi, FeSi, CoSi

$\text{Mn}_{1-y}\text{Fe}_y\text{Si}$, $\text{Mn}_{1-y}\text{Co}_y\text{Si}$, $\text{Fe}_{1-x}\text{Co}_x\text{Si}$

MnGe, FeGe, CoGe

$\text{Mn}_{1-y}\text{Fe}_y\text{Ge}$, $\text{Fe}_{1-y}\text{Co}_y\text{Ge}$, $\text{Mn}_{1-y}\text{Co}_y\text{Ge}$



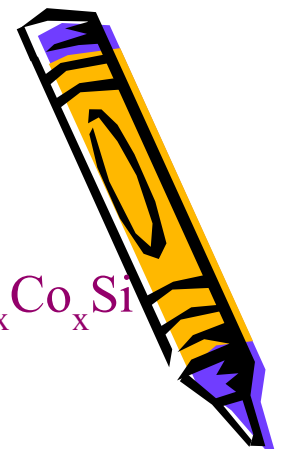
Si



Me

Børn, 1933

- B20-type cubic
- Space group $\text{P}2_13$, $a \approx 4.6 \text{ \AA}$
- 4 Me and 4 Si atoms are inside a unit cell positions (u,u,u) , $(1/2+u,1/2-u,u)$, $(1/2-u,-u,1/2+u)$, $(-u,1/2+u,1/2+u)$ with $u_{\text{Mn}} = 0.138$ and $u_{\text{Si}} = 0.845$



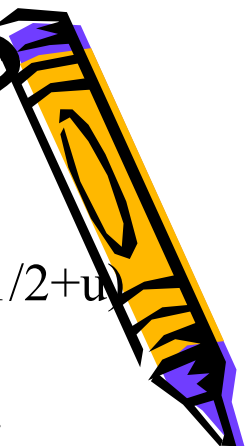
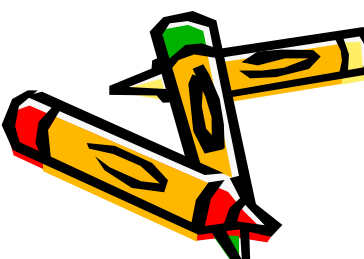
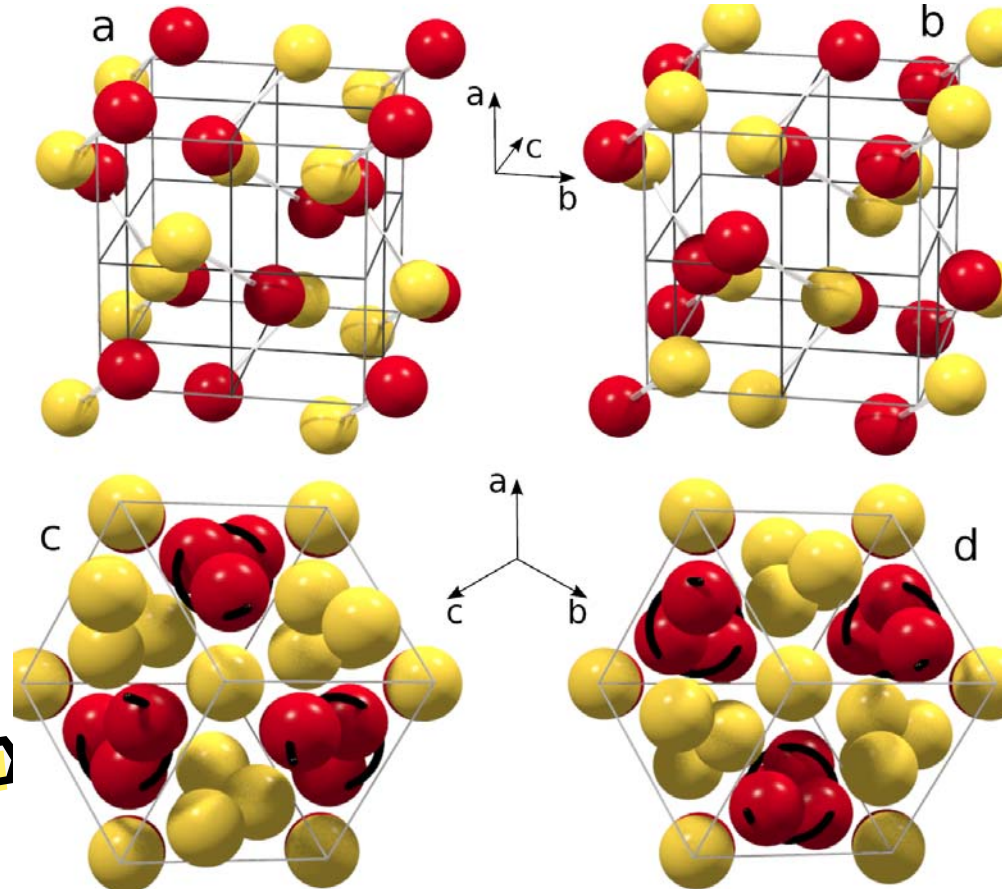
What is structural chirality?

$(u,u,u), (1/2+u,1/2-u,u),$
 $(1/2-u,-u,1/2+u) (-u,1/2+u,1/2+u)$
with

$$u_{\text{Me}} = 0.138 \text{ и } u_{\text{Si}} = 0.845.$$

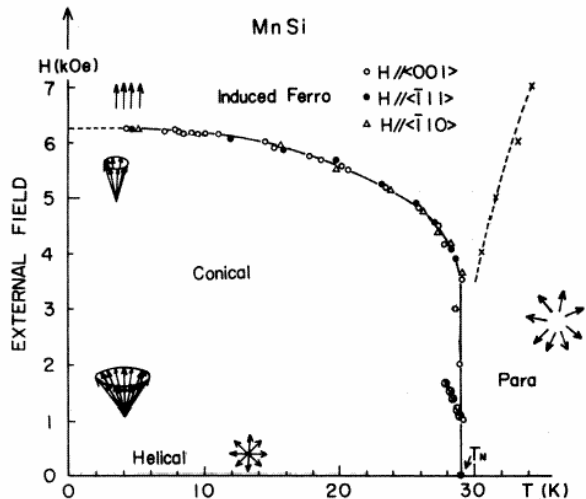
$(u,u,u), (1/2+u,1/2-u,u),$
 $(1/2-u,-u,1/2+u) (-u,1/2+u,1/2+u)$

$$\text{with } u_{\text{Me}} = 0.862 \text{ и } u_{\text{Si}} = 0.155.$$



1. H-T and T-P phase diagrams

[1] Y. Ishikawa, G. Shirane, J.A. Tarvin, M. Kohgi,
Phys.Rev.B **16** (1977) 4956.



$$\begin{aligned} W(\mathbf{q}) &= E_{\text{EX}} + E_{\text{DM}} + E_{\text{AE}} = \\ &= (A/2) (\mathbf{q}^2 + \kappa_0^2) \mathbf{S}_{\mathbf{q}}^2 + \\ &+ D (\mathbf{q} [\mathbf{S}_{\mathbf{q}} \times \mathbf{S}_{-\mathbf{q}}]) + E_{\text{AE}} \end{aligned}$$

$$\downarrow$$

$$k = SD/A$$

Driving forces in magnetic system of MnSi.

k-dependent part of the classical energy [P.Bak, M.H.Jensen, J.Phys. **C13** (1980) 1881]

$$E_{cl} = - (S^2/2) J_k \cos^2\alpha - S^2 D_k (\mathbf{k} [\mathbf{a} \times \mathbf{b}]) \cos^2\alpha +$$

$$+ (S^2 F/4)[k_x^2 (a_x^2 + b_x^2) + k_y^2 (a_y^2 + b_y^2) + k_z^2 (a_z^2 + b_z^2)] \cos^2\alpha + S h_{||} \sin\alpha$$



At $(ka \ll 1)$: $J_k \approx J_0 - Ak^2/S$ and $D_k \approx D_0$.

Hierarchy of interactions: $A \gg D, a \gg F$

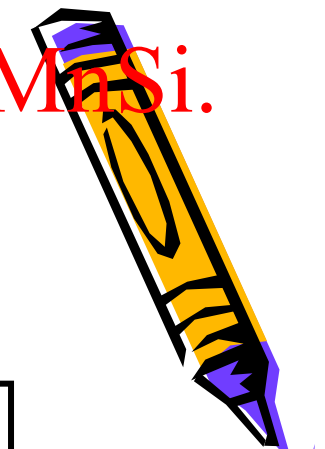
$$E_{cl} = - (S^2/2) J_0 \cos^2\alpha + S h_{||} \sin\alpha +$$

$$+ [S A k^2/2 + (S^2 F k^2/4) \sum c_i^2 (a_i^2 + b_i^2) - S^2 D_0 (\mathbf{k} [\mathbf{a} \times \mathbf{b}])] \cos^2\alpha$$

For components of \mathbf{k} : $S A k_i + (S^2 F k_i/2) \sum c_i^2 (a_i^2 + b_i^2) = S^2 D_0 [\mathbf{a} \times \mathbf{b}]_i$

For \mathbf{k} : $S A k^2 + (S^2 F k^2/2) \sum c_i^2 (a_i^2 + b_i^2) = S^2 D_0 (\mathbf{k} [\mathbf{a} \times \mathbf{b}])$

Driving forces in magnetic system of MnSi.



Bak-Jensen model:

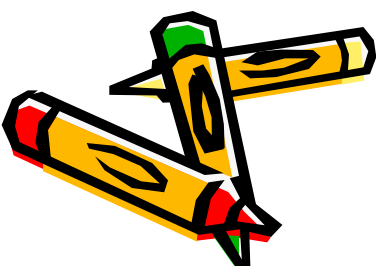
$$\mathbf{k} = S^2 D_0 [\mathbf{a} \times \mathbf{b}] / \{ S A + (S^2 F/2) \sum c_i^2 (a_i^2 + b_i^2) \}$$

(i) $\mathbf{k} \perp [\mathbf{a} \times \mathbf{b}]$

(ii) $k = SD_0 / \{ A + (SF/3) \} \approx SD_0/A$

(iii) if $D_0 < 0$ then left-handed spiral & if $D_0 > 0$ then right-handed spiral

(iv) Direction of \mathbf{k} is not fixed by the Dzialoshinskii interaction.
It is the anisotropic exchange $(S^2 F/2) \sum c_i^2 (a_i^2 + b_i^2)$, which
does !!!



Driving forces in magnetic system of MnSi.

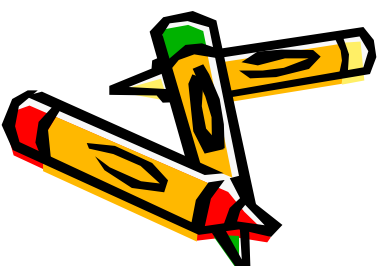


Substitute $\mathbf{k} = S^2 D_0 [\mathbf{a} \times \mathbf{b}] / \{ S A + (S^2 F/2) \sum c_i^2 (a_i^2 + b_i^2) \}$ into

$$E_{cl} = [S A k^2/2 + (S^2 F k^2 /4) \sum c_i^2 (a_i^2 + b_i^2) - S^2 D_0 (\mathbf{k} [\mathbf{a} \times \mathbf{b}])] \cos^2 \alpha$$

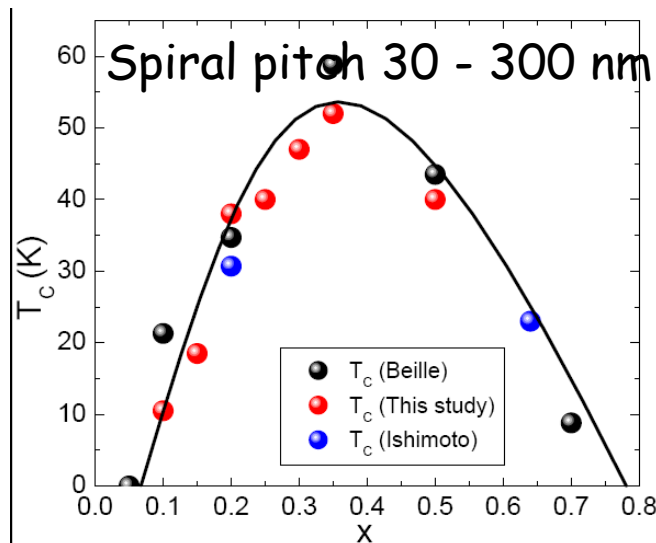
$\sum c_i^2 (a_i^2 + b_i^2)$ is maximal and equal to $2/3$ at $(\mathbf{k} \parallel \mathbf{c} \parallel [111])$ and
is minimal and equal to 0 at $(\mathbf{k} \parallel \mathbf{c} \parallel [100])$

If $F < 0$, then E_{cl} is minimized at $(\mathbf{k} \parallel \mathbf{c} \parallel [111])$;
If $F > 0$, then E_{cl} is minimized at $(\mathbf{k} \parallel \mathbf{c} \parallel [100])$.

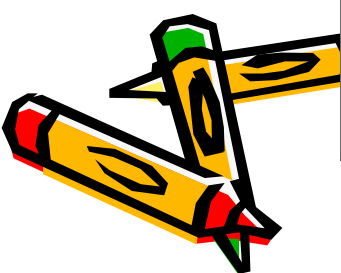
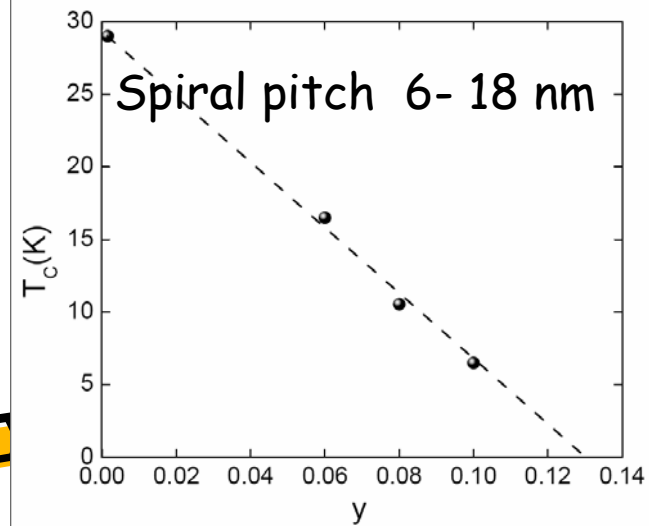


Magnetic order in $\text{Fe}_{1-x}\text{Co}_x\text{Si}$ and $\text{Mn}_{1-y}\text{Fe}_y\text{Si}$

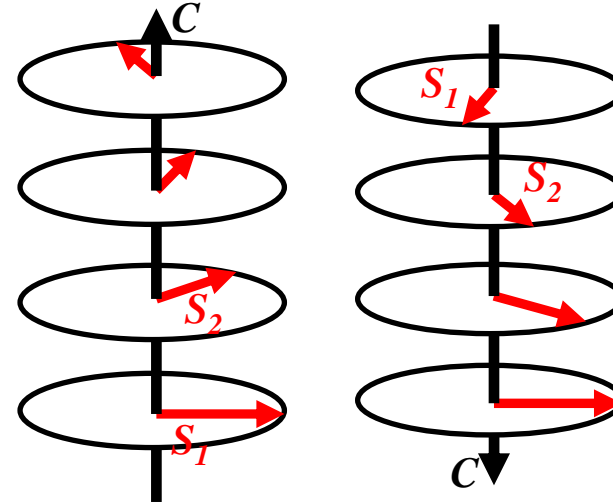
$\text{Fe}_{1-x}\text{Co}_x\text{Si}$



$\text{Mn}_{1-y}\text{Fe}_y\text{Si}$



Right-handed helix Left-handed helix



$$\begin{aligned}
 W(\mathbf{q}) &= E_{\text{EX}} + E_{\text{DM}} + E_{\text{AE}} = \\
 &= (A/2) (q^2 + \kappa_0^2) \mathbf{S}_q^2 + \\
 &+ D (\mathbf{q} [\mathbf{S}_q \times \mathbf{S}_{-\mathbf{q}}]) + E_{\text{AE}}
 \end{aligned}$$

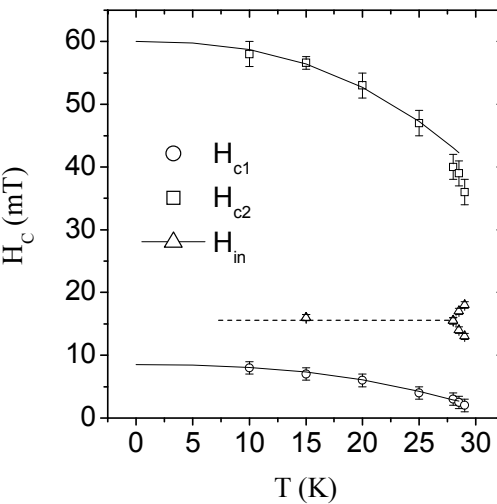
$$k = SD/A$$



Фазовая диаграмма MnSi в магнитном поле

S.V. Grigoriev, S.V. Maleyev, A.L. Okorokov,
Yu. O. Chetverikov, P. Böni, R. Georgii,
D. Lamago, H. Eckerlebe and K. Pranzas,
Phys.Rev. B, v.74, (2006) 214414

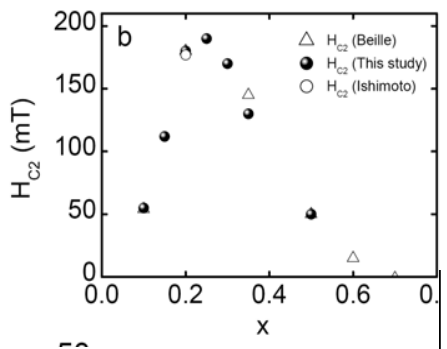
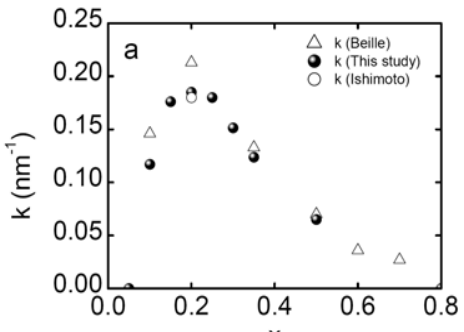
- 1) $A k^2 = g \mu_B H_{C2}$ критическое поле перехода в ферромагнитную фазу
- 2) $k = S D / A$ волновой вектор спирали



- 1) $A = g \mu_B H_{C2} / k = 50 \text{ meV } \text{Å}^2$
- 2) $S Da = A ka = 8 \text{ meV } \text{Å}^2$
- 3) $\Delta^2 = H_{in}^2 / 2 \approx (11 \mu\text{eV})^2$

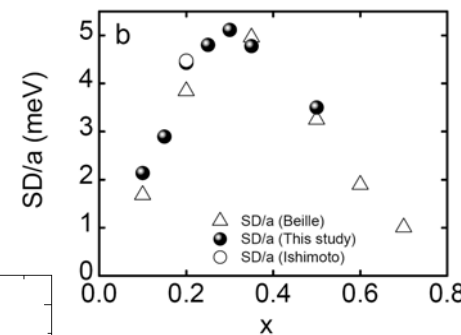
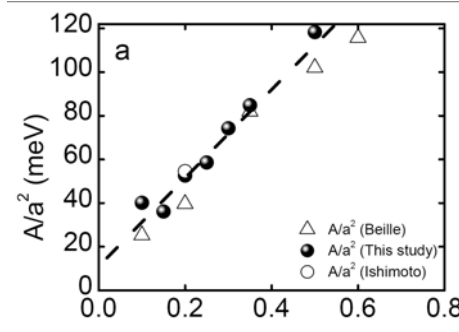
Параметры магнитной системы

$Fe_{1-x}Co_xSi$

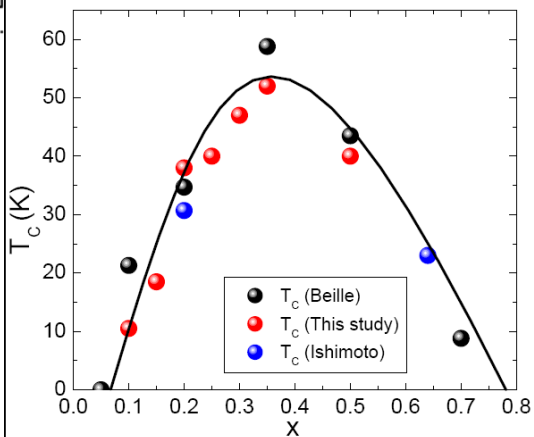


$$A = g \mu_B H_{c2} / k^2$$

$$SD = A k$$

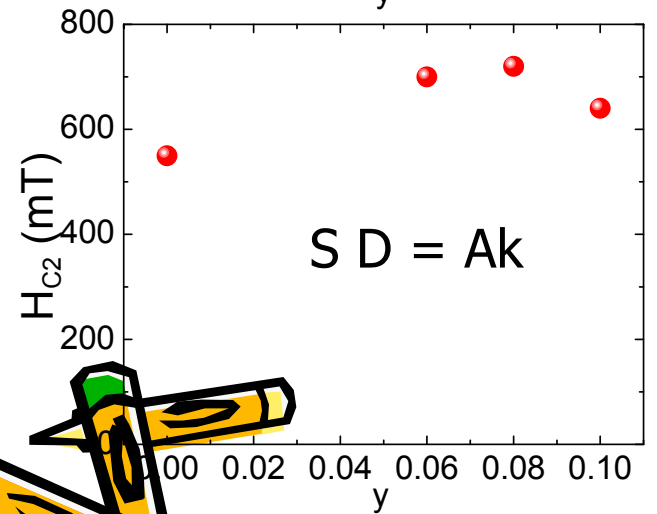
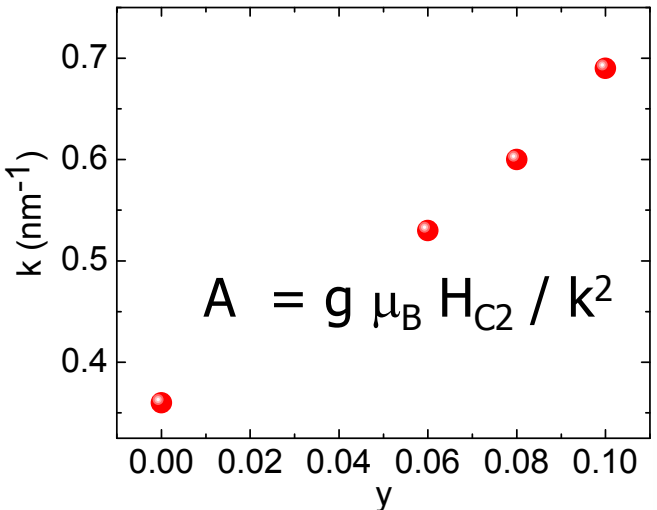


S.V. Grigoriev, S.V. Maleyev,
V.A. Dyadkin, D.Menzel,
J. Schoenes, H. Eckerlebe,
Phys.Rev.B, v.76, (2007) 092407

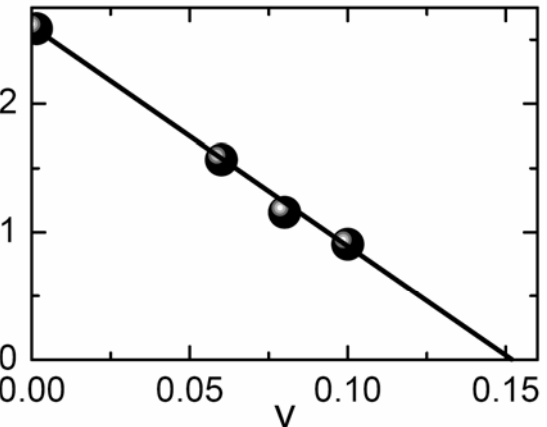


S.V. Grigoriev, V.A. Dyadkin,
D.Menzel, J. Schoenes,
Yu.O. Chetverikov,
H. Eckerlebe, S.V. Maleyev,
Phys.Rev. B, v.76, (2007)
224424

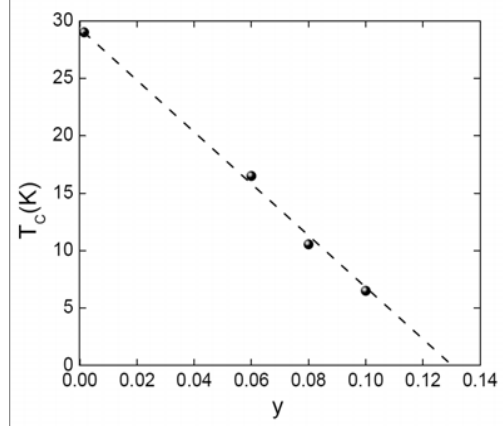
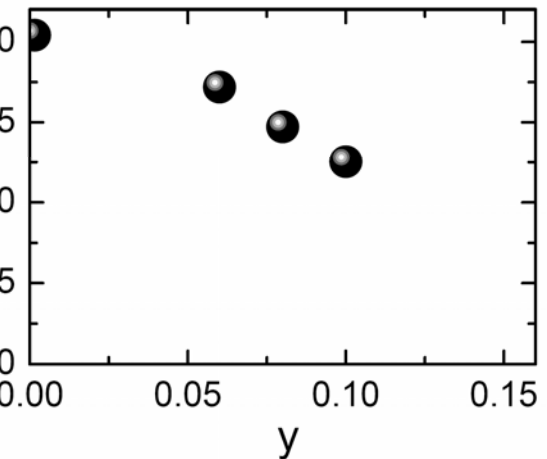
γ Fe $_y$ Si



A/a^2 (meV)

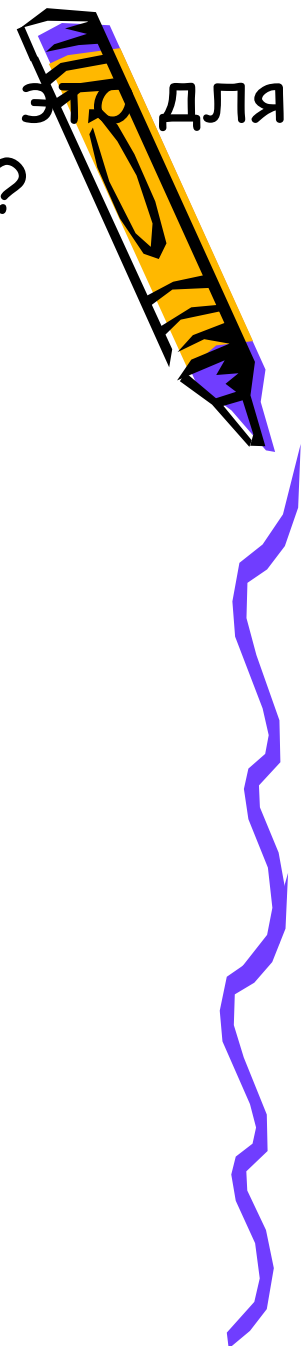
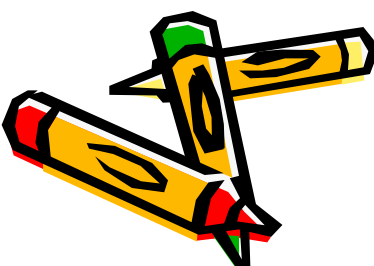
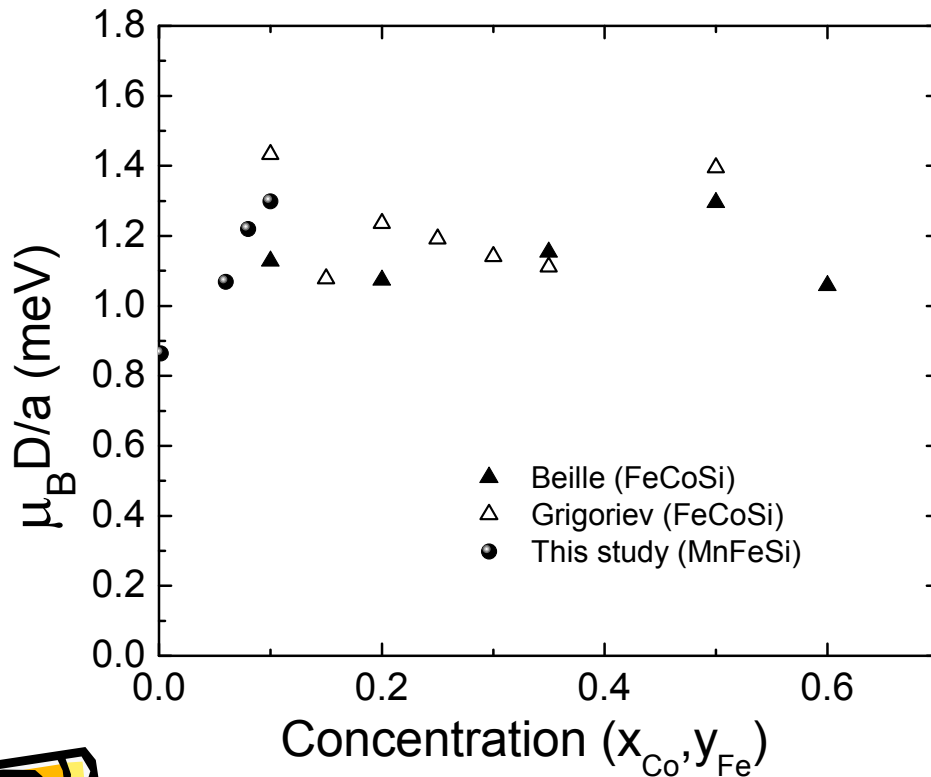


SD/a (meV)

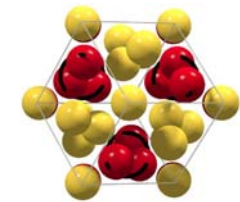
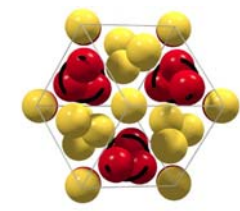


S. V. Grigoriev, V. A. Dyadkin, E. V. Moskvin,
D. Lamago, Th. Wolf, H. Eckerlebe, and
S. V. Maleyev, Phys.Rev. B **79** (2009) 144417

Константа Дзялошинского- сколько это для кристаллов этого типа Р2₁З ?



Crystal chirality and magnetic chirality in $\text{Fe}_{1-x}\text{Co}_x\text{Si}$ and $\text{Mn}_{1-y}\text{Fe}_y\text{Si}$



Γ_c	γ_m
(+1)	(-1)
(+1)	(+1)

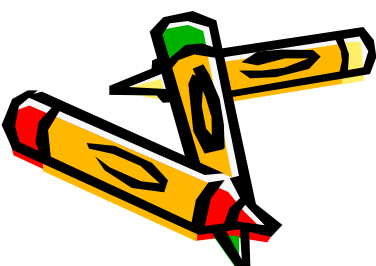
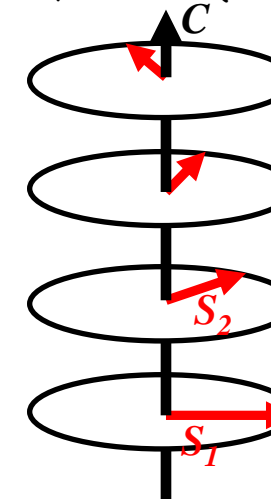
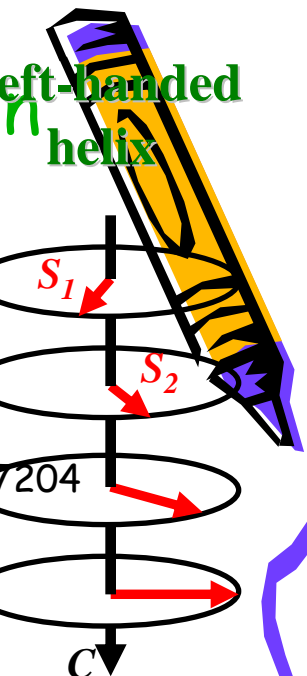
$\text{Fe}_{1-x}\text{Co}_x\text{Si}$

$\text{Mn}_{1-y}\text{Fe}_y\text{Si}$

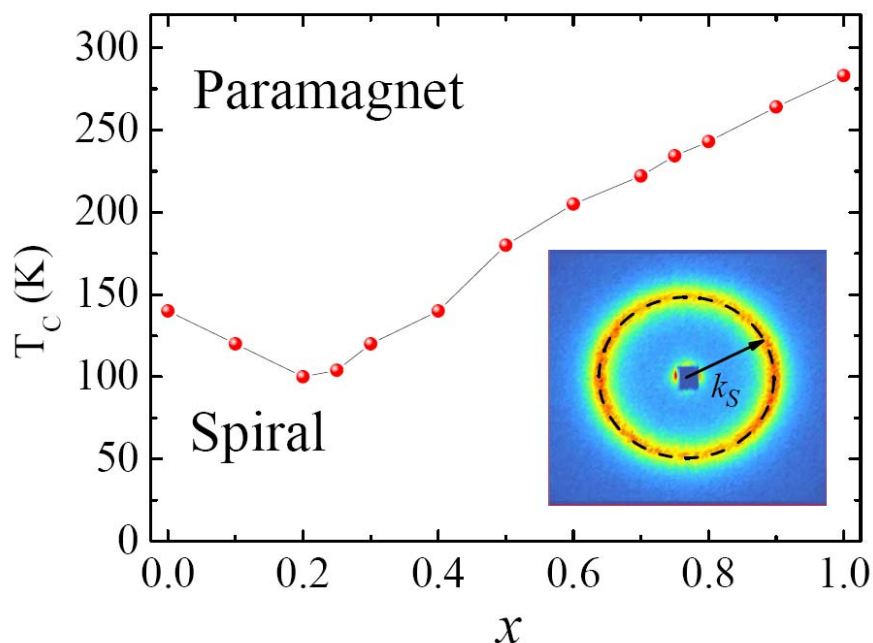
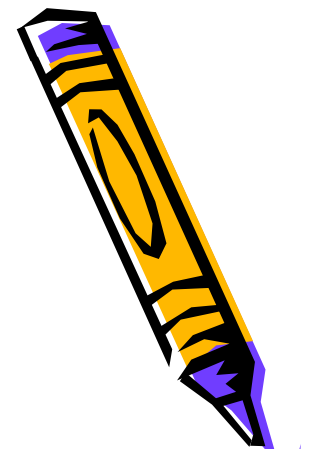
*S. V. Grigoriev, et al,
Phys. Rev. Lett. 102 (2009) 027204

**S. V. Grigoriev, et al,
Phys. Rev. B 81 (2010) 012408
***V.A. Dyadkin, et al,
Phys. Rev. B 84, 014435 (2011)

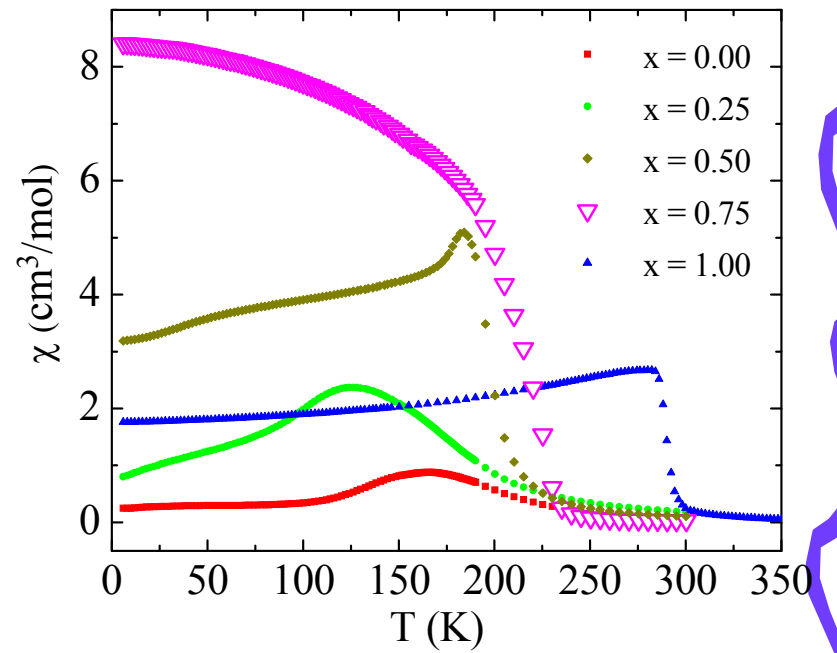
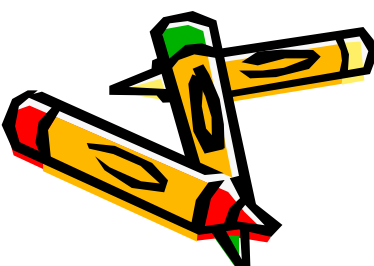
Right-handed
helix



Critical temperature T_c in $\text{Mn}_{1-x}\text{Fe}_x\text{Ge}$



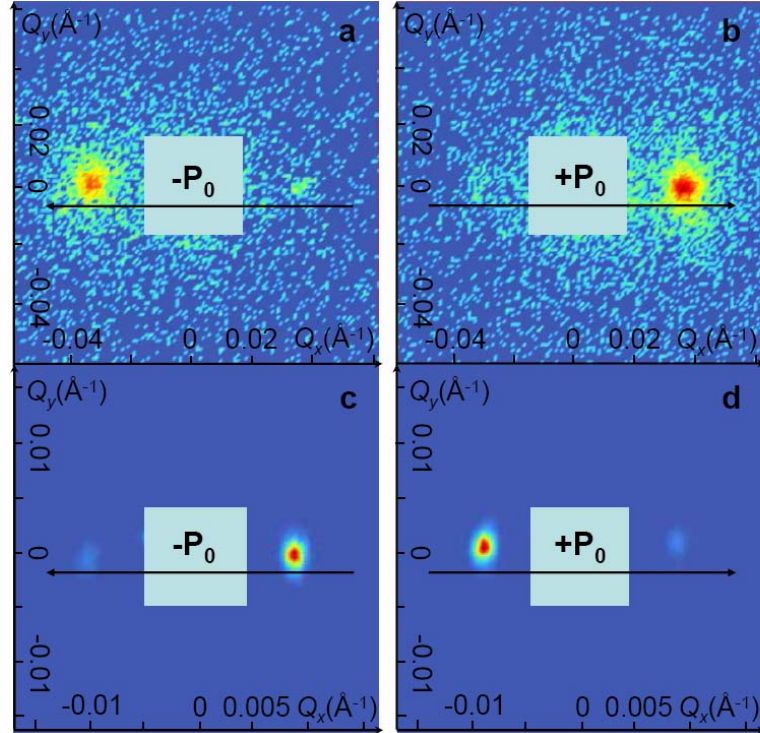
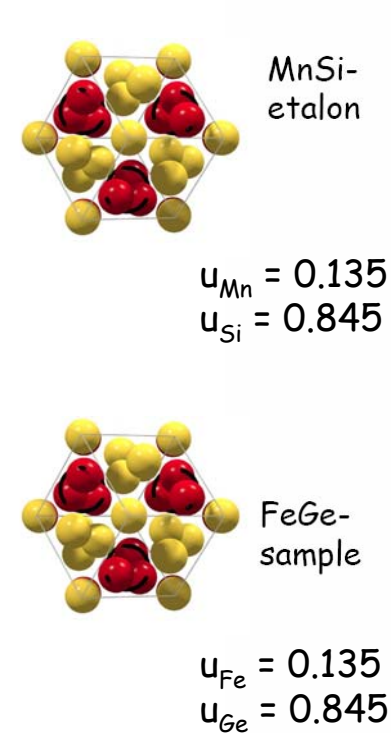
Samples: $\text{Mn}_{1-y}\text{Fe}_y\text{Ge}$ (0, 0.1... -.. 1.0)
(A.V. Tsvyashchenko,
Institute for High Pressure
Physics, Troitsk, Russia)



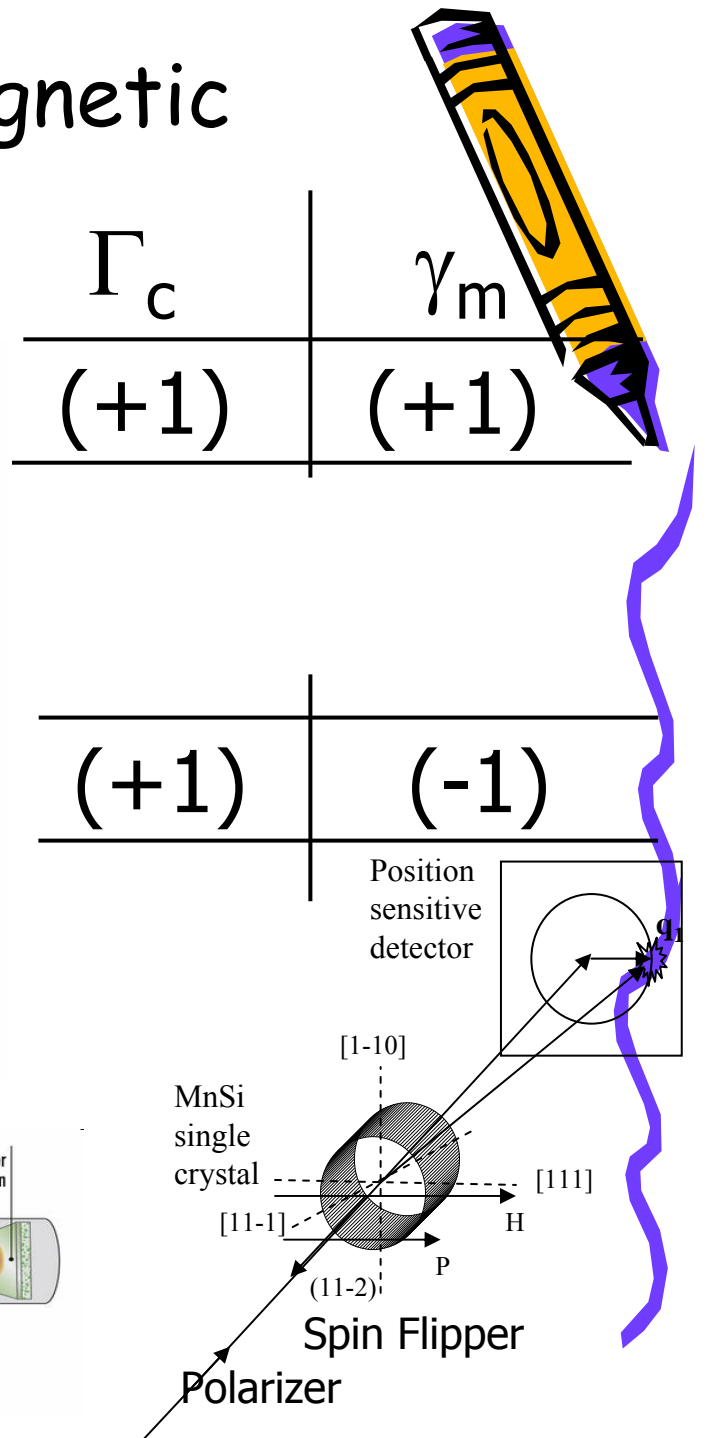
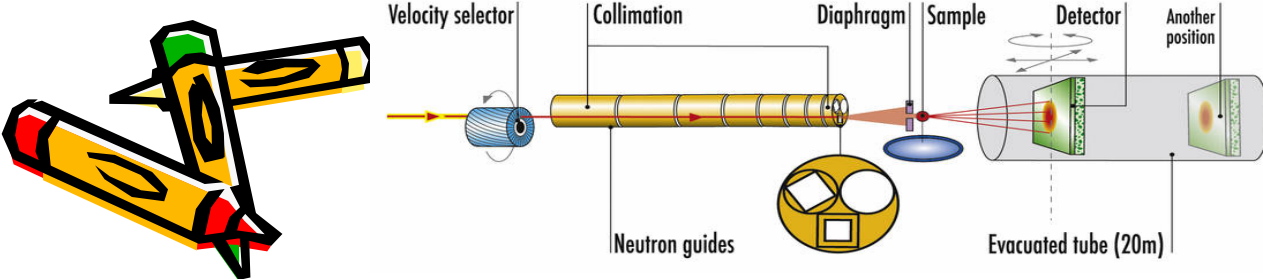
Susceptibility measurements



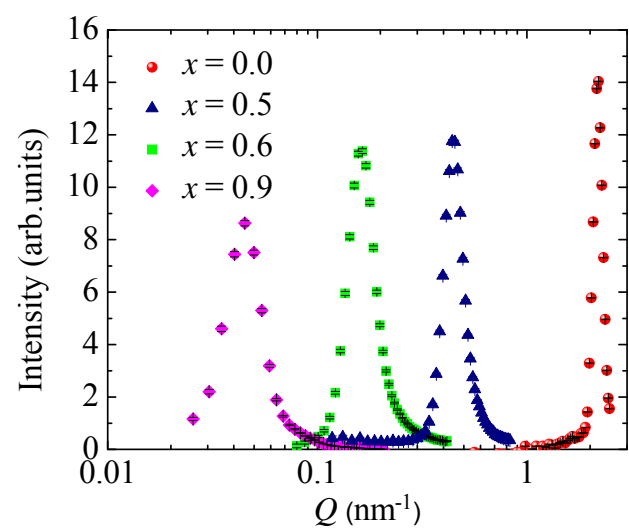
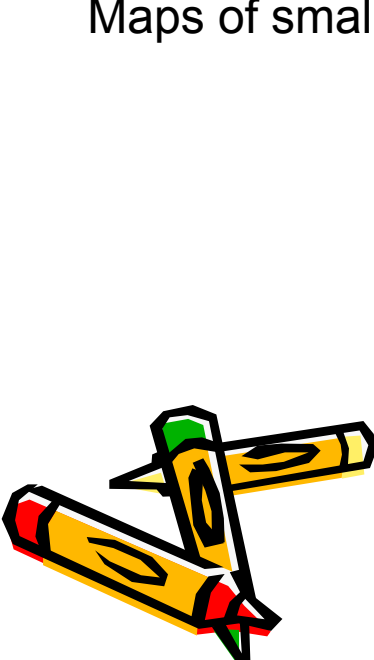
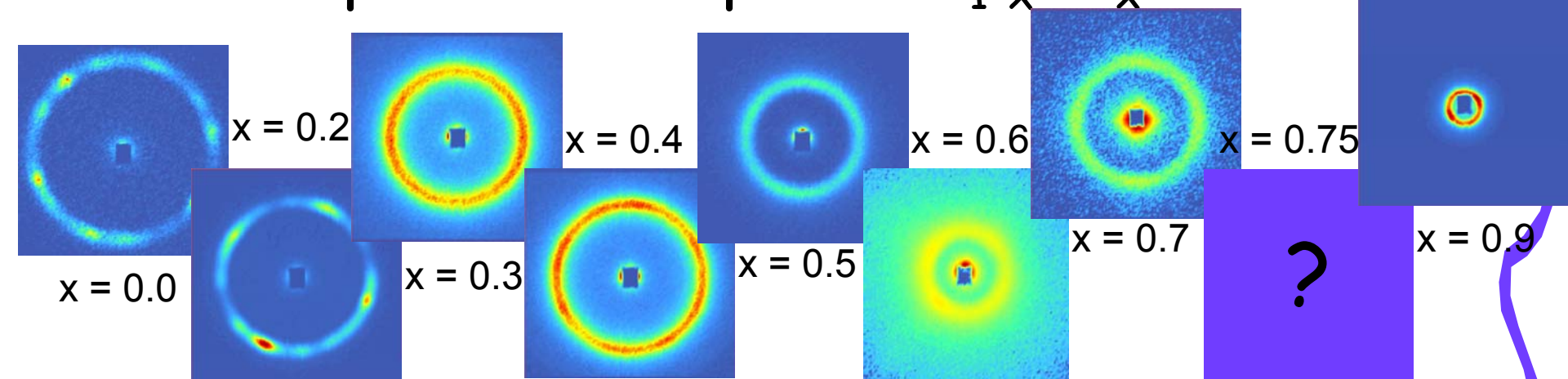
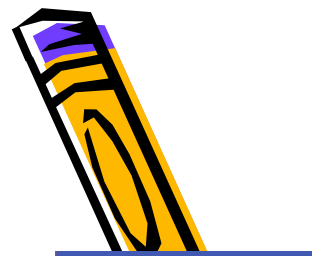
Crystal handedness and magnetic chirality in FeGe



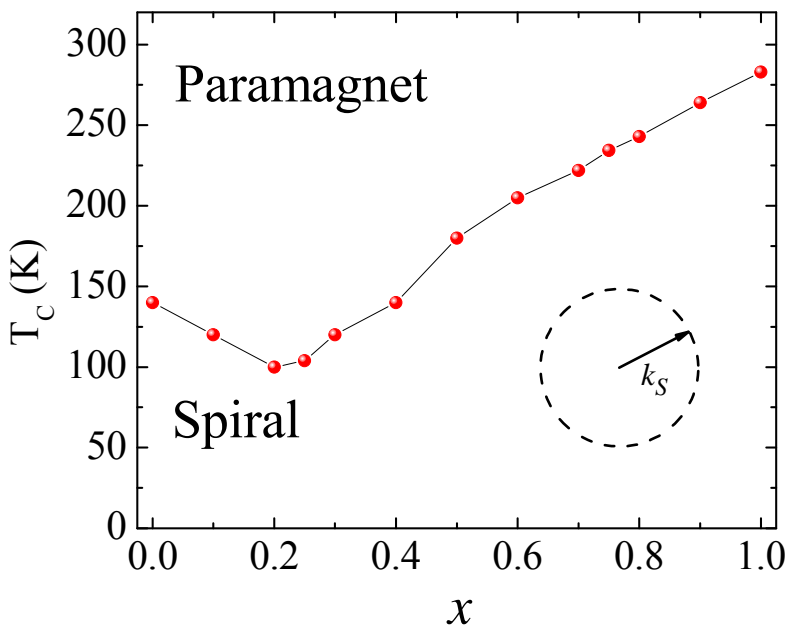
Experimental setup D22 (ILL)



Small angle neutron scattering on the powder samples $\text{Mn}_{1-x}\text{Fe}_x\text{Ge}$



Critical temperature T_c and spiral wavevector k in $Mn_{1-x}Fe_xGe$



MnGe

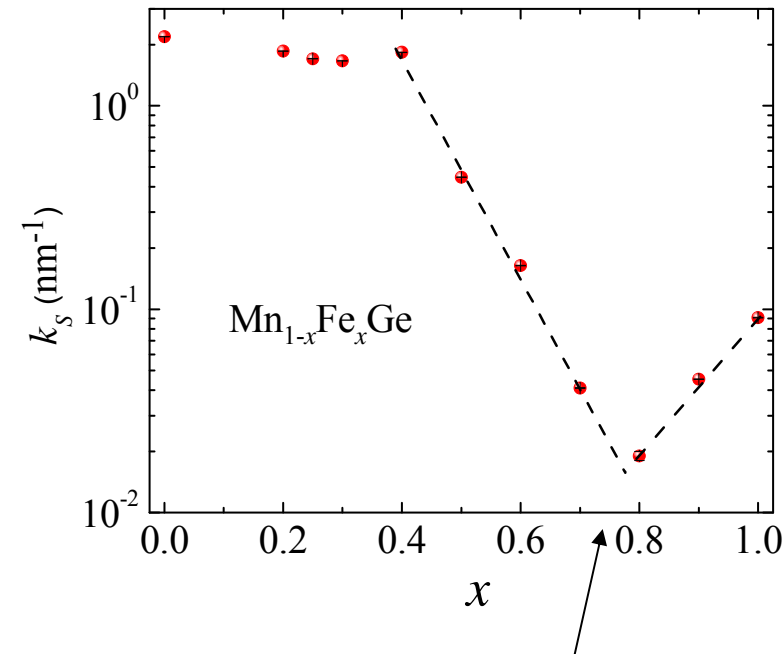
$\Gamma_c = +1$

$\gamma_m = +1$

FeGe

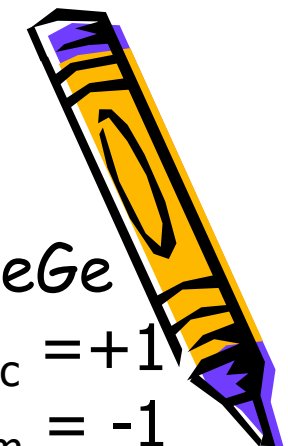
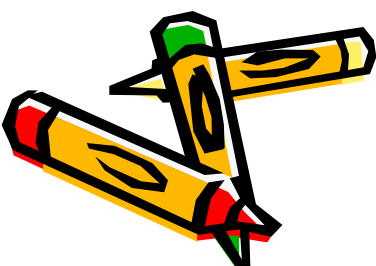
$\Gamma_c = +1$

$\gamma_m = -1$

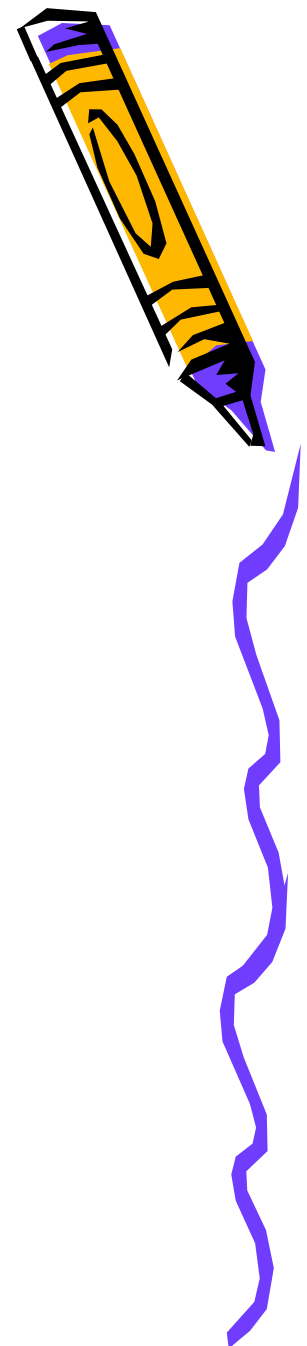


The wavevector $k = 0$, $T_c = 240$ K!!!
The system transforms to ferromagnet!

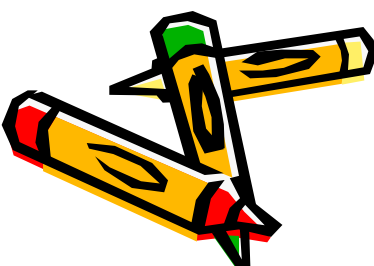
$k \rightarrow 0, x_c = 0.75$



Crystallographic and magnetic chirality in $\text{Fe}_{1-x}\text{Co}_x\text{Si}$, $\text{Mn}_{1-y}\text{Fe}_y\text{Si}$ and $\text{Mn}_{1-y}\text{Fe}_y\text{Ge}$



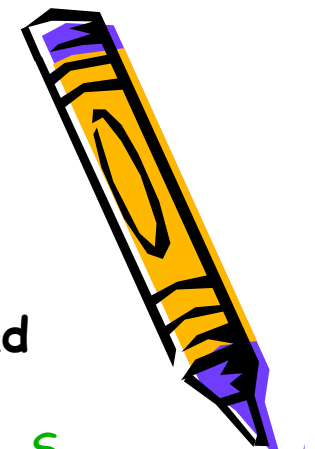
	Γ_c	γ_m
$\text{Fe}_{1-x}\text{Co}_x\text{Si}$	(+1)	(-1)
	(-1)	(+1)
$\text{Mn}_{1-y}\text{Fe}_y\text{Si}$	(+1)	(+1)
	(-1)	(-1)
FeGe	(+1)	(-1)
	(-1)	(+1)
MnGe	(+1)	(+1)
	(-1)	(-1)



Additional experimental proof

[arXiv.org](https://arxiv.org/) > [cond-mat](https://arxiv.org/abs/cond-mat/1302.2319) > arXiv:1302.2319

NATURE NANOTECHNOLOGY



Skyrmions with varying size and helicity in composition-spread helimagnetic alloys $Mn_{1-x}Fe_xGe$

K. Shibata, X. Z. Yu, T. Hara, D. Morikawa, N. Kanazawa, K. Kimoto, S. Ishiwata, Y. Matsui, Y. Tokura

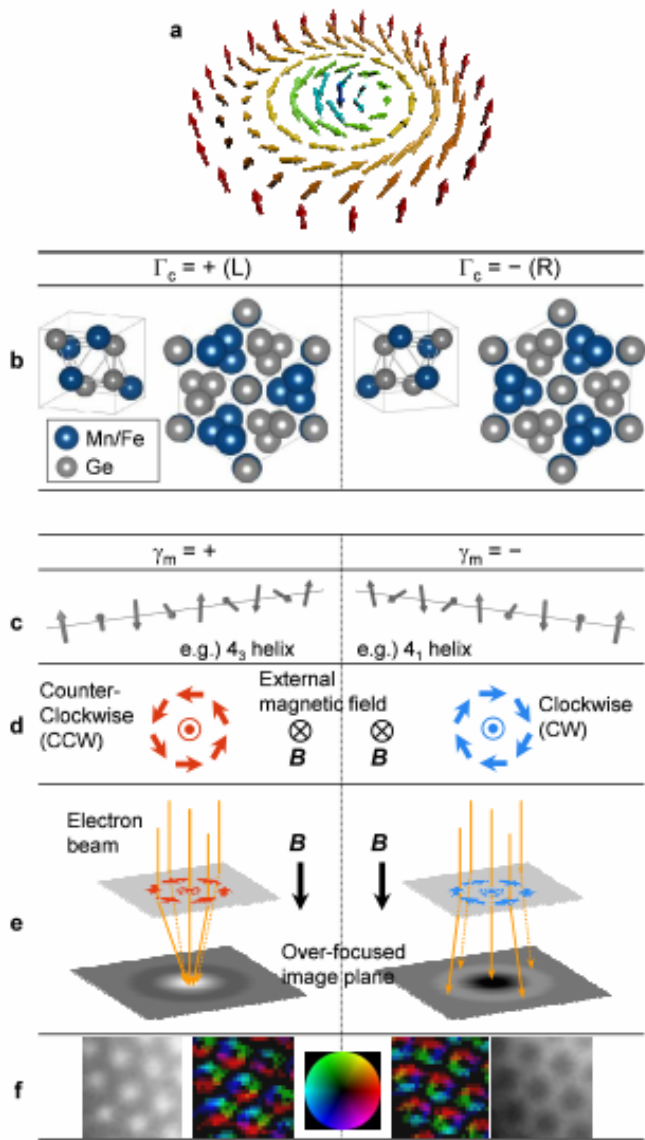
Composition x	Domain	Γ_c	γ_m	$\Gamma_c \times \gamma_m$
~ 0.5	A	+	+	+
~ 0.5	B	-	-	+
~ 0.7	A	-	-	+
~ 0.9	A	+	-	-
~ 0.9	B	-	+	-
1.0	A	+	-	-
1.0	B	-	+	-



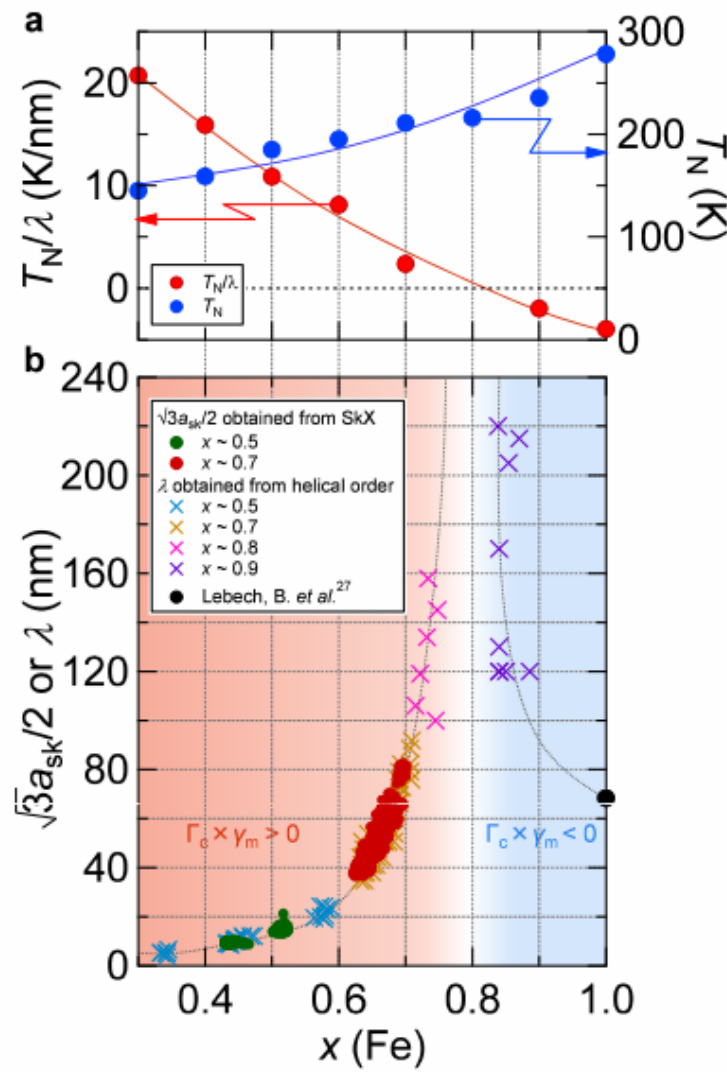
Lorentz transmission electron microscopy



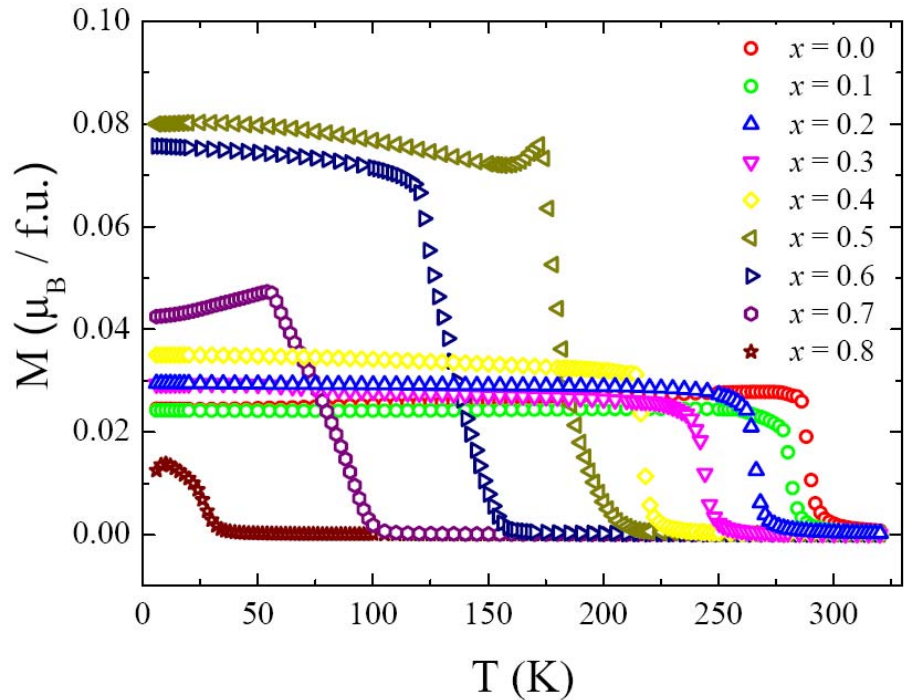
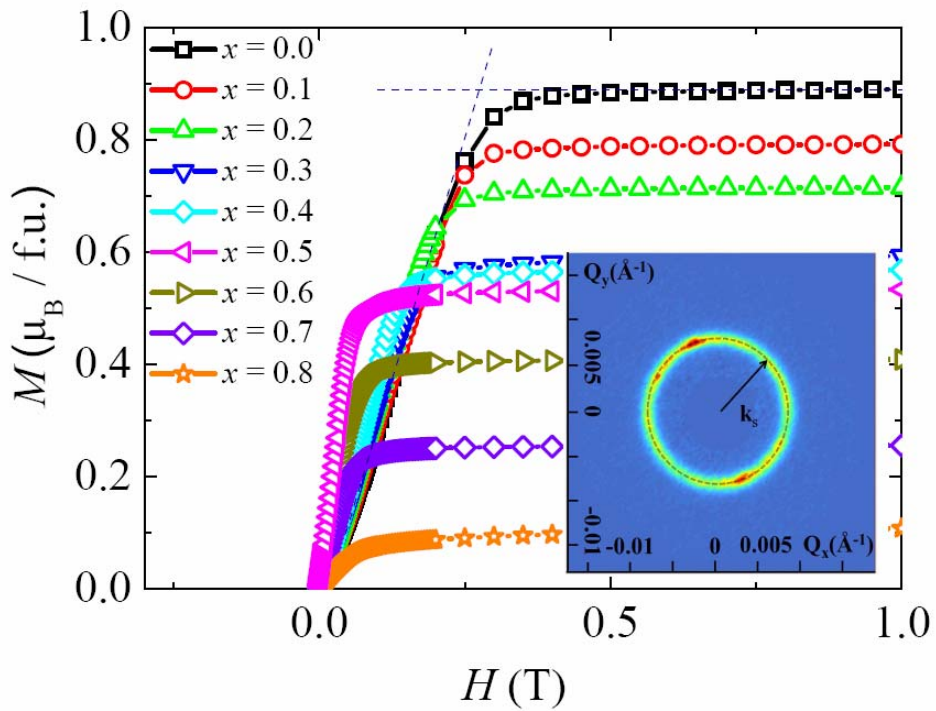
Lorentz transmission electron microscopy



Results



Magnetic ordering in $\text{Fe}_{1-x}\text{Co}_x\text{Ge}$



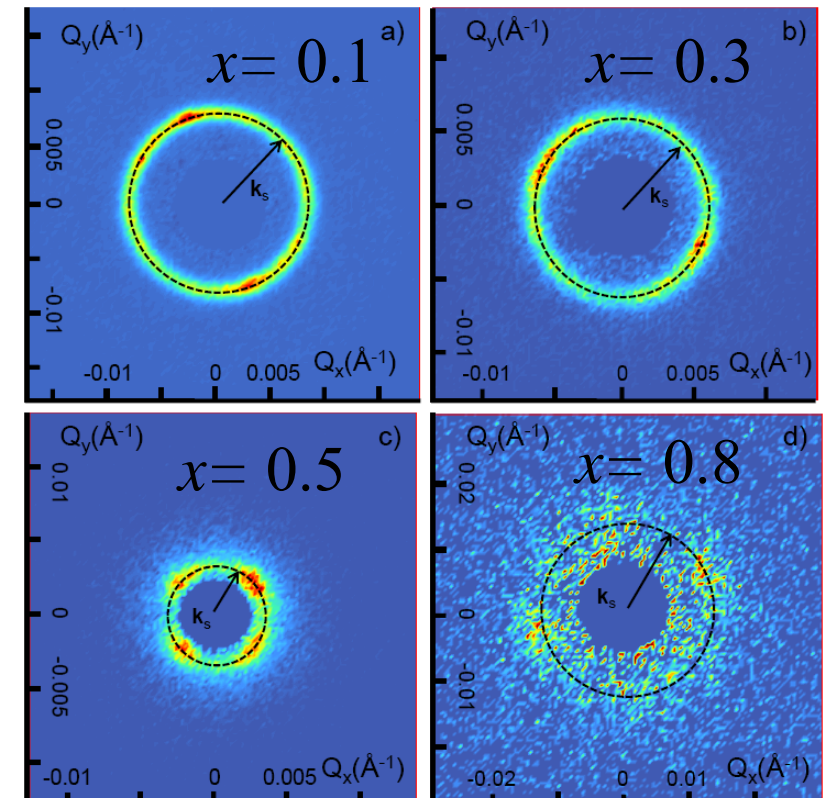
Samples: $\text{Fe}_{1-y}\text{Co}_y\text{Ge}$ ($0, 0.1 \dots - 1.0$)
(A.V. Tsvyashchenko,
Institute for High Pressure
Physics, Troitsk, Russia)



Susceptibility measurements

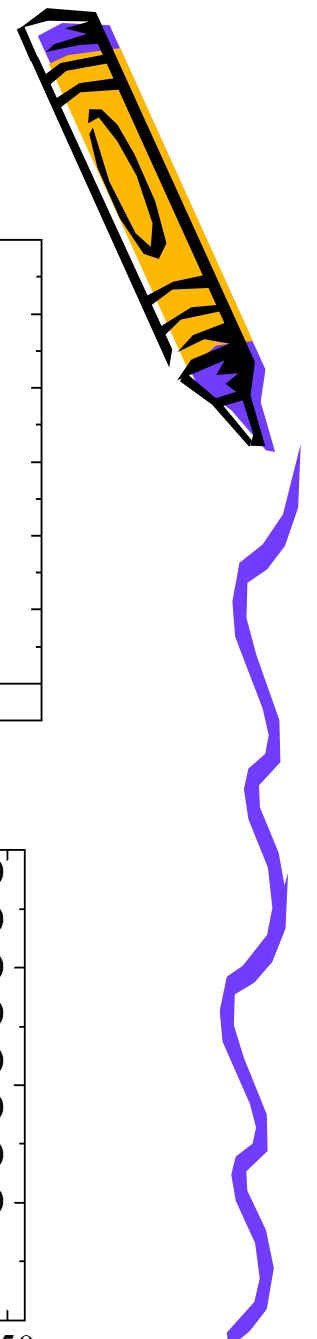
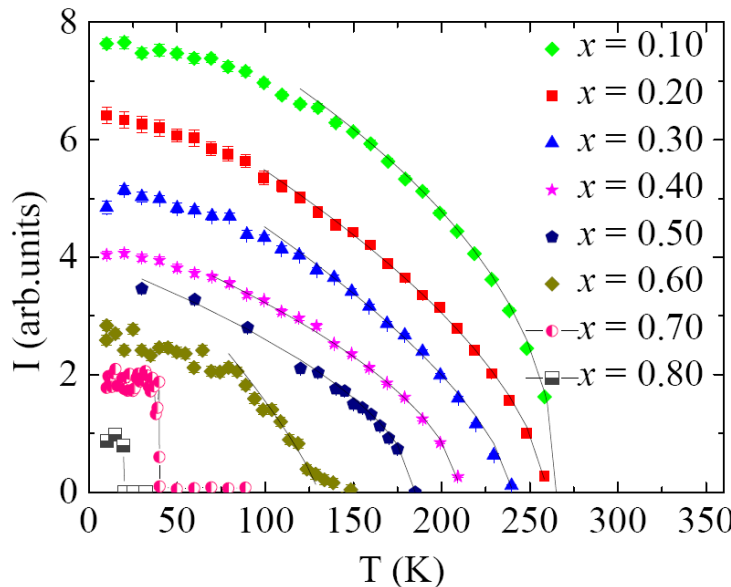
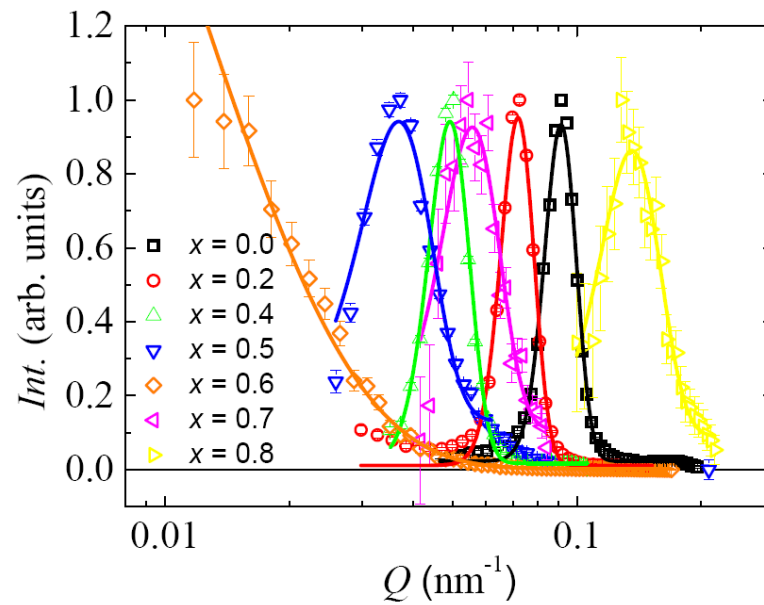
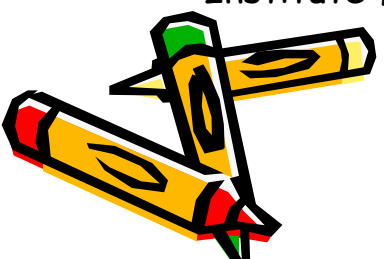


Small angle neutron scattering on the powder samples $\text{Fe}_{1-x}\text{Co}_x\text{Ge}$



Samples: $\text{Fe}_{1-x}\text{Co}_x\text{Ge}$ (0, 0.1... -.. 1.0)

(A.V. Tsvyashchenko,
Institute for High Pressure Physics,
Troitsk, Russia)



Critical temperature T_c and spiral wavevector k in $\text{Fe}_{1-x}\text{Co}_x\text{Ge}$

FeGe

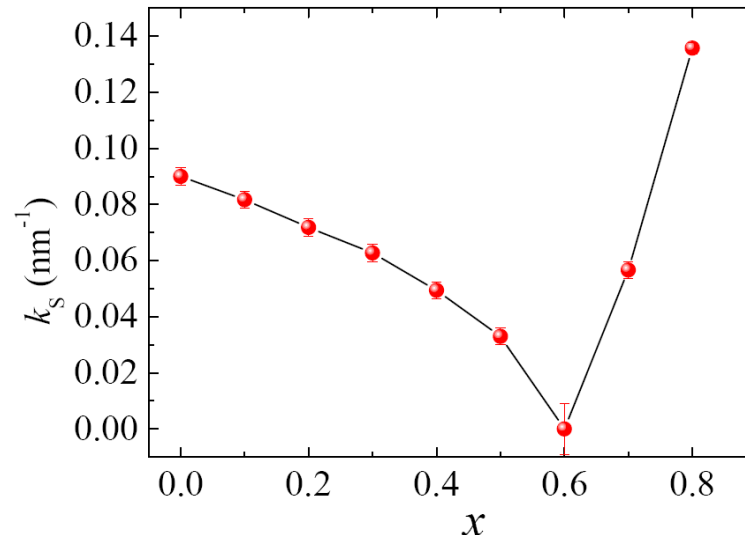
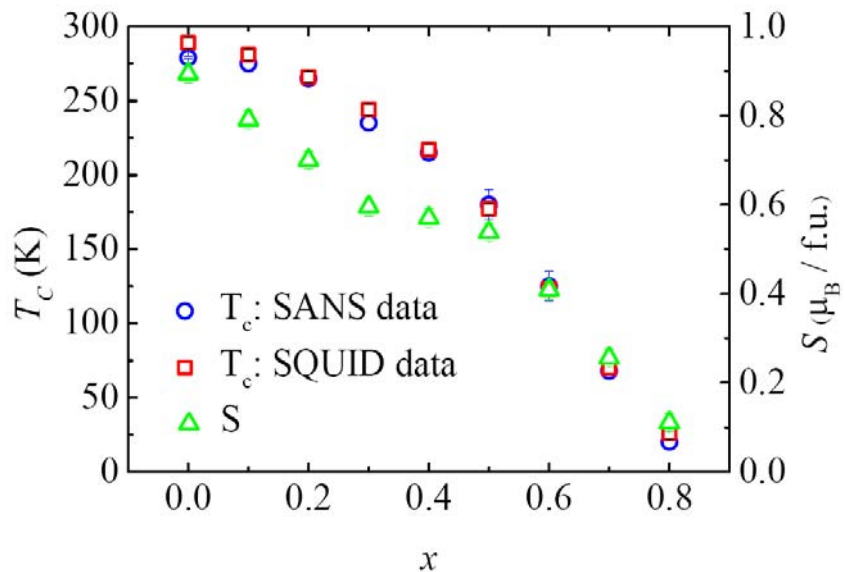
$$\Gamma_c = +1$$

$$\gamma_m = -1$$

CoGe

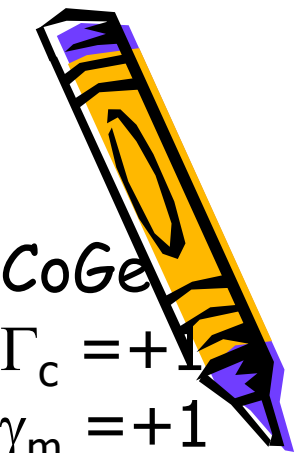
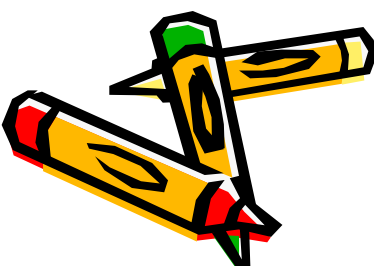
$$\Gamma_c = +1$$

$$\gamma_m = +1$$

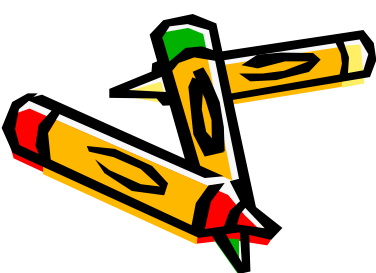
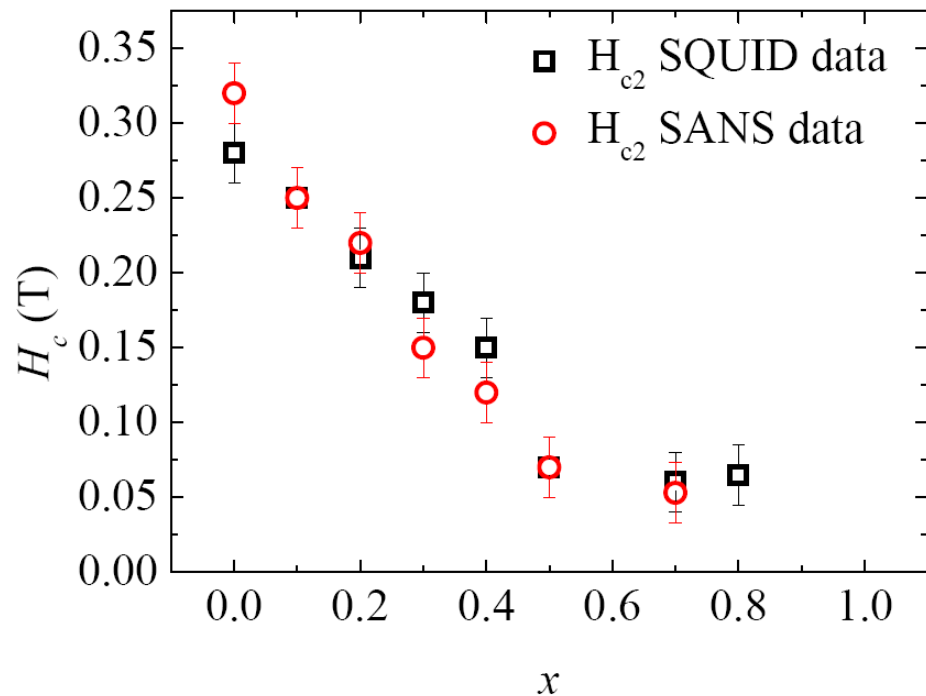
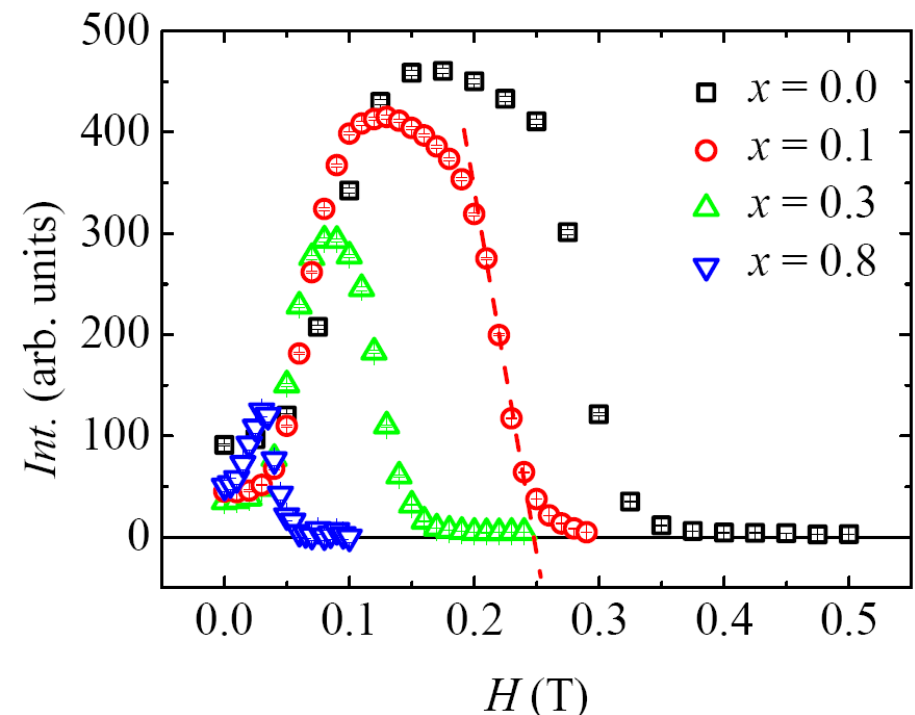
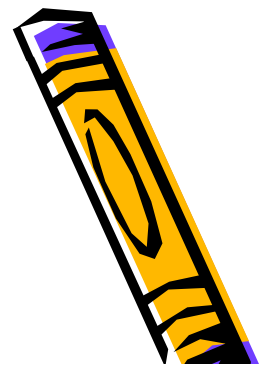


$$k \rightarrow 0, x_c = 0.6$$

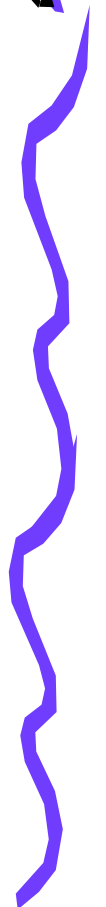
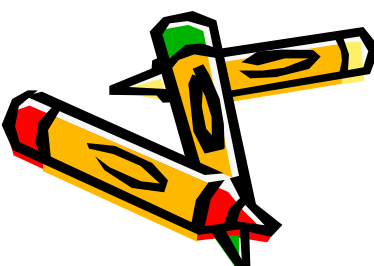
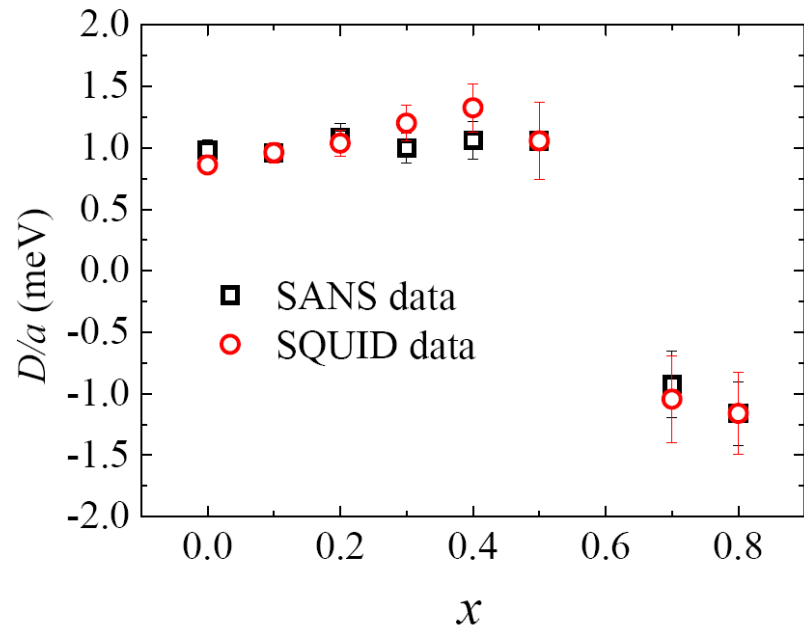
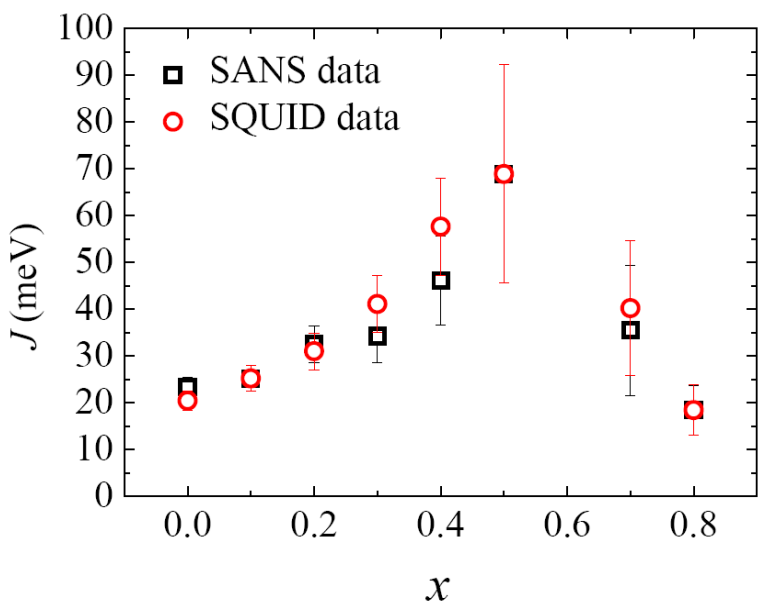
The wavevector $k = 0$, $T_c = 140$ K!!!
The system transforms to ferromagnet as well !



Critical field H_{c2} in $\text{Fe}_{1-x}\text{Co}_x\text{Ge}$

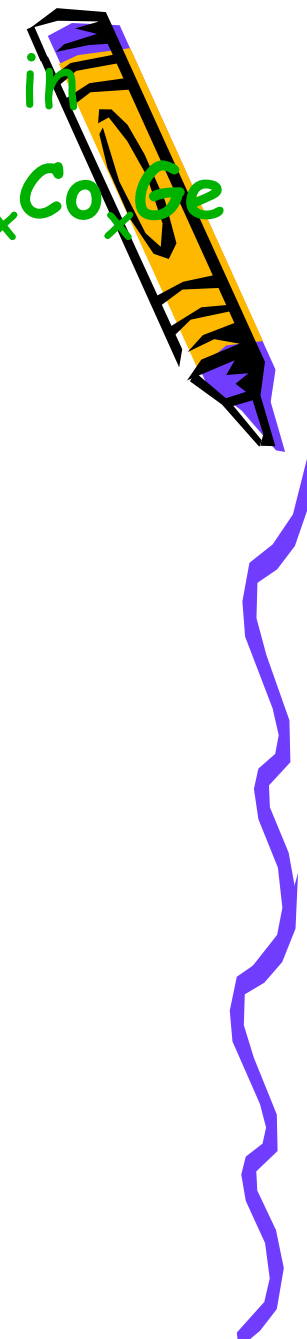
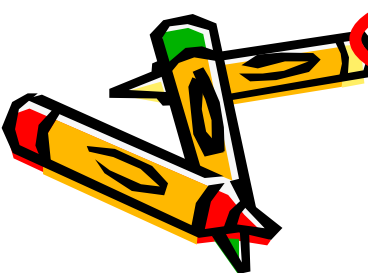


Driving interactions of the magnetic system



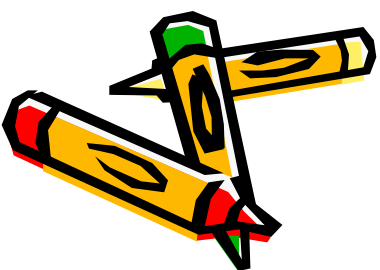
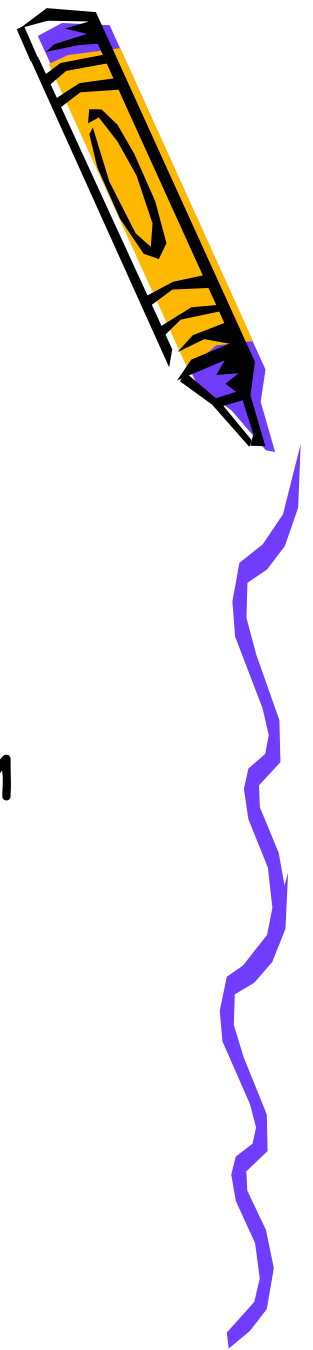
Crystallographic and magnetic chirality in $\text{Fe}_{1-x}\text{Co}_x\text{Si}$, $\text{Mn}_{1-y}\text{Fe}_y\text{Si}$, $\text{Mn}_{1-y}\text{Fe}_y\text{Ge}$, $\text{Fe}_{1-x}\text{Co}_x\text{Ge}$

	Γ_c	γ_m
$\text{Fe}_{1-x}\text{Co}_x\text{Si}$	(+1)	(-1)
$\text{Mn}_{1-y}\text{Fe}_y\text{Si}$	(+1)	(+1)
FeGe	(+1)	(-1)
MnGe	(+1)	(+1)
CoGe	(+1)	(+1)



Выводы

- Рост J при $x \rightarrow x_c$ противоречит плавному уменьшению T_c в этих кристаллах. Что происходит с J ?
- Константа Дзялошинского остается константой во всем диапазоне концентраций x , но меняет знак при $x = x_c$. При этом она равна этой же величине в $MnSi$ и $Fe_{1-x}Co_xSi$.



Коллектив авторов этой работы выражает благодарность всем тем людям, которые поддерживают их в экспериментах, обсуждают результаты, комментируют и критикуют.



Григорьев Сергей Валентинович,
д. ф.-м. н., ведущий научный
сотрудник, ПИЯФ НИЦ КИ, Гатчина



Москина Евгений Владимирович,
к. ф.-м. н., старший научный
сотрудник, ПИЯФ НИЦ КИ, Гатчина



Драбиков Вадим Александрович,
к. ф.-м. н., научный сотрудник, ПИЯФ
НИЦ КИ, Гатчина



Чубова Надежда Михайловна,
младший научный сотрудник, ПИЯФ
НИЦ КИ, Гатчина



Свен Арне Энфельдт,
специалист, Helmholtz-Zentrum
Geesthacht, Германия.



Алпатовский Евгений Владимирович
студент, СПбГУ



Чернышев Дмитрий Юрьевич,
к. ф.-м. н., научный сотрудник, SNBL
ESRF, Гренобль, Франция



Цаудерна Анатолий Васильевич,
к. ф.-м. н., старший научный
сотрудник, ИФФД РАН, Троицк



Дарко Мезар,
доктор, Technische Universität
Braunschweig, Германия.

